

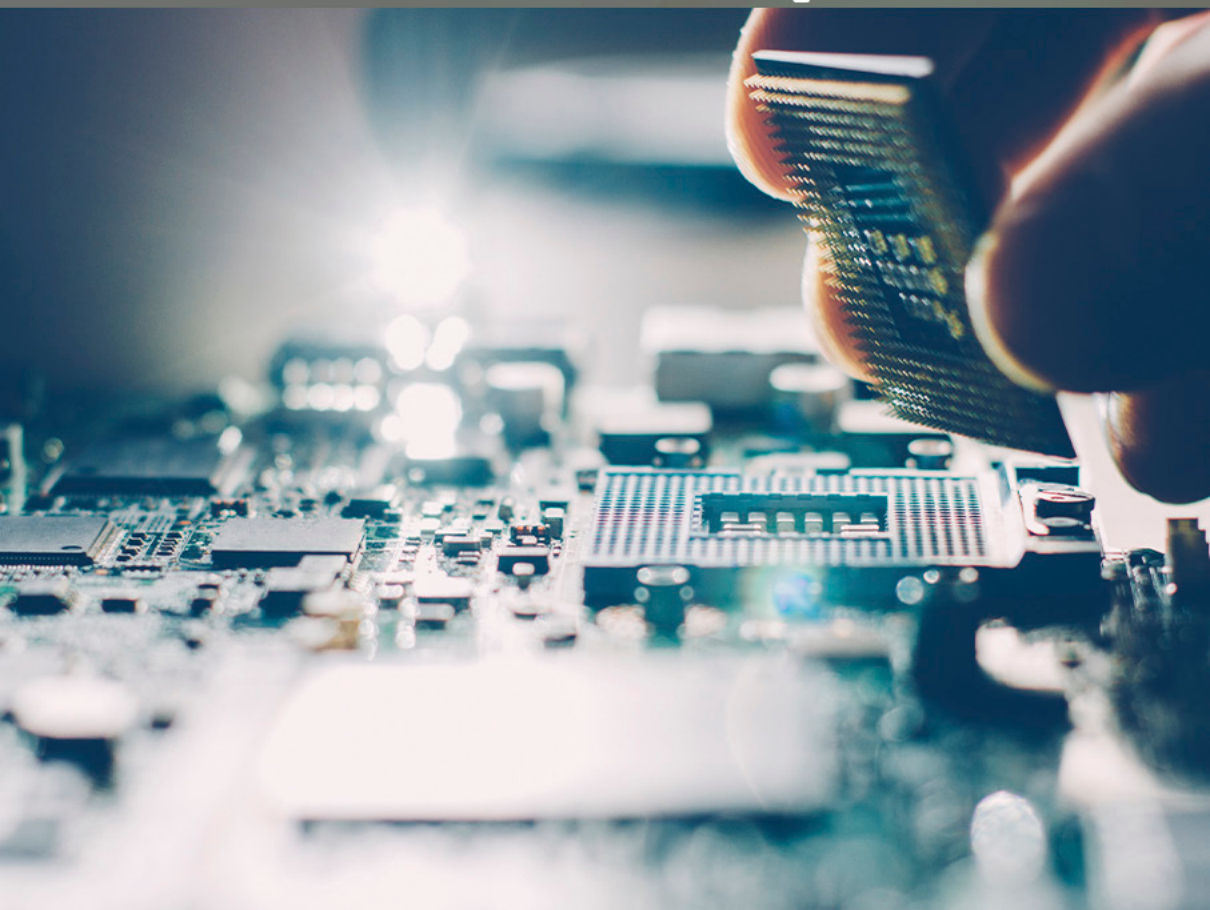
COLEÇÃO

DESAFIOS

DAS

ENGENHARIAS:

ENGENHARIA DE COMPUTAÇÃO



ERNANE ROSA MARTINS
(ORGANIZADOR)

 Atena
Editora
Ano 2021

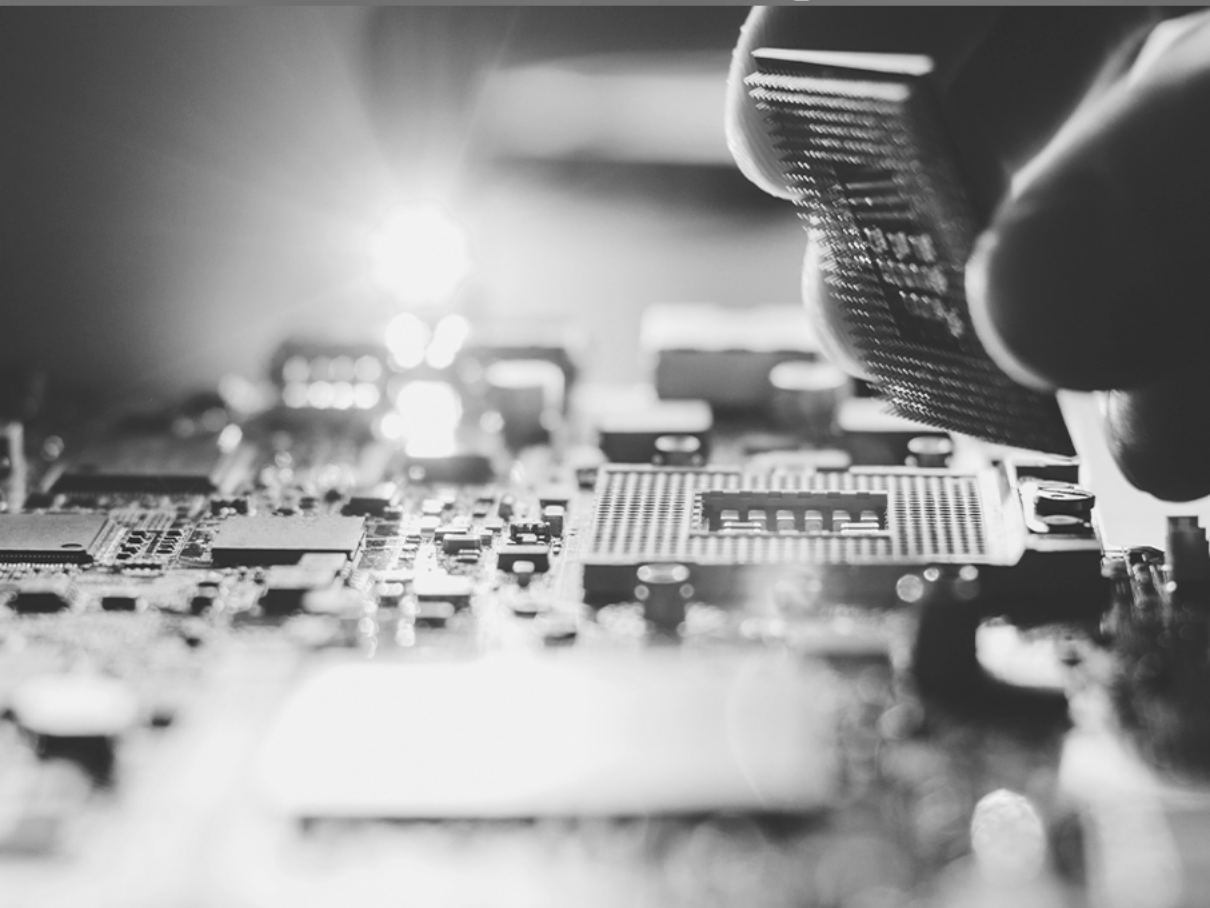
COLEÇÃO

DESAFIOS

DAS

ENGENHARIAS:

ENGENHARIA DE COMPUTAÇÃO



ERNANE ROSA MARTINS
(ORGANIZADOR)

 Atena
Editora
Ano 2021

Editora chefe	
Profª Drª Antonella Carvalho de Oliveira	
Assistentes editoriais	
Natalia Oliveira	
Flávia Roberta Barão	
Bibliotecária	
Janaina Ramos	
Projeto gráfico	
Natália Sandrini de Azevedo	
Camila Alves de Cremo	
Luiza Alves Batista	
Maria Alice Pinheiro	
Imagens da capa	
iStock	
Edição de arte	
Luiza Alves Batista	
Revisão	
Os autores	
	2021 by Atena Editora
	Copyright © Atena Editora
	Copyright do Texto © 2021 Os autores
	Copyright da Edição © 2021 Atena Editora
	Direitos para esta edição cedidos à Atena Editora pelos autores.
	Open access publication by Atena Editora



Todo o conteúdo deste livro está licenciado sob uma Licença de Atribuição Creative Commons. Atribuição-Não-Comercial-NãoDerivativos 4.0 Internacional (CC BY-NC-ND 4.0).

O conteúdo dos artigos e seus dados em sua forma, correção e confiabilidade são de responsabilidade exclusiva dos autores, inclusive não representam necessariamente a posição oficial da Atena Editora. Permitido o *download* da obra e o compartilhamento desde que sejam atribuídos créditos aos autores, mas sem a possibilidade de alterá-la de nenhuma forma ou utilizá-la para fins comerciais.

Todos os manuscritos foram previamente submetidos à avaliação cega pelos pares, membros do Conselho Editorial desta Editora, tendo sido aprovados para a publicação com base em critérios de neutralidade e imparcialidade acadêmica.

A Atena Editora é comprometida em garantir a integridade editorial em todas as etapas do processo de publicação, evitando plágio, dados ou resultados fraudulentos e impedindo que interesses financeiros comprometam os padrões éticos da publicação. Situações suspeitas de má conduta científica serão investigadas sob o mais alto padrão de rigor acadêmico e ético.

Conselho Editorial

Ciências Humanas e Sociais Aplicadas

Prof. Dr. Alexandre Jose Schumacher – Instituto Federal de Educação, Ciência e Tecnologia do Paraná

Prof. Dr. Américo Junior Nunes da Silva – Universidade do Estado da Bahia

Profª Drª Andréa Cristina Marques de Araújo – Universidade Fernando Pessoa

Prof. Dr. Antonio Carlos Frasson – Universidade Tecnológica Federal do Paraná

Prof. Dr. Antonio Gasparetto Júnior – Instituto Federal do Sudeste de Minas Gerais

Prof. Dr. Antonio Isidro-Filho – Universidade de Brasília

Prof. Dr. Arnaldo Oliveira Souza Júnior – Universidade Federal do Piauí
Prof. Dr. Carlos Antonio de Souza Moraes – Universidade Federal Fluminense
Prof. Dr. Crisóstomo Lima do Nascimento – Universidade Federal Fluminense
Prof^a Dr^a Cristina Gaio – Universidade de Lisboa
Prof. Dr. Daniel Richard Sant'Ana – Universidade de Brasília
Prof. Dr. Deyvison de Lima Oliveira – Universidade Federal de Rondônia
Prof^a Dr^a Dilma Antunes Silva – Universidade Federal de São Paulo
Prof. Dr. Edvaldo Antunes de Farias – Universidade Estácio de Sá
Prof. Dr. Elson Ferreira Costa – Universidade do Estado do Pará
Prof. Dr. Elio Martins Senhora – Universidade Federal de Roraima
Prof. Dr. Gustavo Henrique Cepolini Ferreira – Universidade Estadual de Montes Claros
Prof. Dr. Humberto Costa – Universidade Federal do Paraná
Prof^a Dr^a Ivone Goulart Lopes – Istituto Internazionale delle Figlie di Maria Ausiliatrice
Prof. Dr. Jadson Correia de Oliveira – Universidade Católica do Salvador
Prof. Dr. José Luis Montesillo-Cedillo – Universidad Autónoma del Estado de México
Prof. Dr. Julio Cândido de Meirelles Junior – Universidade Federal Fluminense
Prof^a Dr^a Lina Maria Gonçalves – Universidade Federal do Tocantins
Prof. Dr. Luis Ricardo Fernandes da Costa – Universidade Estadual de Montes Claros
Prof^a Dr^a Natiéli Piovesan – Instituto Federal do Rio Grande do Norte
Prof. Dr. Marcelo Pereira da Silva – Pontifícia Universidade Católica de Campinas
Prof^a Dr^a Maria Luzia da Silva Santana – Universidade Federal de Mato Grosso do Sul
Prof. Dr. Miguel Rodrigues Netto – Universidade do Estado de Mato Grosso
Prof. Dr. Pablo Ricardo de Lima Falcão – Universidade de Pernambuco
Prof^a Dr^a Paola Andressa Scortegagna – Universidade Estadual de Ponta Grossa
Prof^a Dr^a Rita de Cássia da Silva Oliveira – Universidade Estadual de Ponta Grossa
Prof. Dr. Rui Maia Diamantino – Universidade Salvador
Prof. Dr. Saulo Cerqueira de Aguiar Soares – Universidade Federal do Piauí
Prof. Dr. Urandi João Rodrigues Junior – Universidade Federal do Oeste do Pará
Prof^a Dr^a Vanessa Bordin Viera – Universidade Federal de Campina Grande
Prof^a Dr^a Vanessa Ribeiro Simon Cavalcanti – Universidade Católica do Salvador
Prof. Dr. William Cleber Domingues Silva – Universidade Federal Rural do Rio de Janeiro
Prof. Dr. Willian Douglas Guilherme – Universidade Federal do Tocantins

Ciências Agrárias e Multidisciplinar

Prof. Dr. Alexandre Igor Azevedo Pereira – Instituto Federal Goiano
Prof. Dr. Arinaldo Pereira da Silva – Universidade Federal do Sul e Sudeste do Pará
Prof. Dr. Antonio Pasqualetto – Pontifícia Universidade Católica de Goiás
Prof^a Dr^a Carla Cristina Bauermann Brasil – Universidade Federal de Santa Maria
Prof. Dr. Cleberton Correia Santos – Universidade Federal da Grande Dourados
Prof^a Dr^a Diocléa Almeida Seabra Silva – Universidade Federal Rural da Amazônia
Prof. Dr. Écio Souza Diniz – Universidade Federal de Viçosa
Prof. Dr. Fábio Steiner – Universidade Estadual de Mato Grosso do Sul
Prof. Dr. Fágnier Cavalcante Patrocínio dos Santos – Universidade Federal do Ceará
Prof^a Dr^a Girlene Santos de Souza – Universidade Federal do Recôncavo da Bahia
Prof. Dr. Jael Soares Batista – Universidade Federal Rural do Semi-Árido
Prof. Dr. Jayme Augusto Peres – Universidade Estadual do Centro-Oeste
Prof. Dr. Júlio César Ribeiro – Universidade Federal Rural do Rio de Janeiro
Prof^a Dr^a Lina Raquel Santos Araújo – Universidade Estadual do Ceará
Prof. Dr. Pedro Manuel Villa – Universidade Federal de Viçosa
Prof^a Dr^a Raissa Rachel Salustriano da Silva Matos – Universidade Federal do Maranhão
Prof. Dr. Ronilson Freitas de Souza – Universidade do Estado do Pará
Prof^a Dr^a Talita de Santos Matos – Universidade Federal Rural do Rio de Janeiro

Prof. Dr. Tiago da Silva Teófilo – Universidade Federal Rural do Semi-Árido
Prof. Dr. Valdemar Antonio Paffaro Junior – Universidade Federal de Alfenas

Ciências Biológicas e da Saúde

Prof. Dr. André Ribeiro da Silva – Universidade de Brasília
Prof^a Dr^a Anelise Levay Murari – Universidade Federal de Pelotas
Prof. Dr. Benedito Rodrigues da Silva Neto – Universidade Federal de Goiás
Prof^a Dr^a Daniela Reis Joaquim de Freitas – Universidade Federal do Piauí
Prof^a Dr^a Débora Luana Ribeiro Pessoa – Universidade Federal do Maranhão
Prof. Dr. Douglas Siqueira de Almeida Chaves – Universidade Federal Rural do Rio de Janeiro
Prof. Dr. Edson da Silva – Universidade Federal dos Vales do Jequitinhonha e Mucuri
Prof^a Dr^a Elizabeth Cordeiro Fernandes – Faculdade Integrada Medicina
Prof^a Dr^a Eleuza Rodrigues Machado – Faculdade Anhanguera de Brasília
Prof^a Dr^a Elane Schwinden Prudêncio – Universidade Federal de Santa Catarina
Prof^a Dr^a Eysler Gonçalves Maia Brasil – Universidade da Integração Internacional da Lusofonia Afro-Brasileira
Prof. Dr. Ferlando Lima Santos – Universidade Federal do Recôncavo da Bahia
Prof^a Dr^a Fernanda Miguel de Andrade – Universidade Federal de Pernambuco
Prof. Dr. Fernando Mendes – Instituto Politécnico de Coimbra – Escola Superior de Saúde de Coimbra
Prof^a Dr^a Gabriela Vieira do Amaral – Universidade de Vassouras
Prof. Dr. Gianfábio Pimentel Franco – Universidade Federal de Santa Maria
Prof. Dr. Helio Franklin Rodrigues de Almeida – Universidade Federal de Rondônia
Prof^a Dr^a Iara Lúcia Tescarollo – Universidade São Francisco
Prof. Dr. Igor Luiz Vieira de Lima Santos – Universidade Federal de Campina Grande
Prof. Dr. Jefferson Thiago Souza – Universidade Estadual do Ceará
Prof. Dr. Jesus Rodrigues Lemos – Universidade Federal do Piauí
Prof. Dr. Jônatas de França Barros – Universidade Federal do Rio Grande do Norte
Prof. Dr. José Max Barbosa de Oliveira Junior – Universidade Federal do Oeste do Pará
Prof. Dr. Luís Paulo Souza e Souza – Universidade Federal do Amazonas
Prof^a Dr^a Magnólia de Araújo Campos – Universidade Federal de Campina Grande
Prof. Dr. Marcus Fernando da Silva Praxedes – Universidade Federal do Recôncavo da Bahia
Prof^a Dr^a Maria Tatiane Gonçalves Sá – Universidade do Estado do Pará
Prof^a Dr^a Mylena Andréa Oliveira Torres – Universidade Ceuma
Prof^a Dr^a Natiéli Piovesan – Instituto Federal do Rio Grande do Norte
Prof. Dr. Paulo Inada – Universidade Estadual de Maringá
Prof. Dr. Rafael Henrique Silva – Hospital Universitário da Universidade Federal da Grande Dourados
Prof^a Dr^a Regiane Luz Carvalho – Centro Universitário das Faculdades Associadas de Ensino
Prof^a Dr^a Renata Mendes de Freitas – Universidade Federal de Juiz de Fora
Prof^a Dr^a Vanessa da Fontoura Custódio Monteiro – Universidade do Vale do Sapucaí
Prof^a Dr^a Vanessa Lima Gonçalves – Universidade Estadual de Ponta Grossa
Prof^a Dr^a Vanessa Bordin Viera – Universidade Federal de Campina Grande
Prof^a Dr^a Welma Emidio da Silva – Universidade Federal Rural de Pernambuco

Ciências Exatas e da Terra e Engenharias

Prof. Dr. Adélio Alcino Sampaio Castro Machado – Universidade do Porto
Prof^a Dr^a Ana Grasielle Dionísio Corrêa – Universidade Presbiteriana Mackenzie
Prof. Dr. Carlos Eduardo Sanches de Andrade – Universidade Federal de Goiás
Prof^a Dr^a Carmen Lúcia Voigt – Universidade Norte do Paraná
Prof. Dr. Cleiseano Emanuel da Silva Paniagua – Instituto Federal de Educação, Ciência e Tecnologia de Goiás
Prof. Dr. Douglas Gonçalves da Silva – Universidade Estadual do Sudoeste da Bahia
Prof. Dr. Eloí Rufato Junior – Universidade Tecnológica Federal do Paraná
Prof^a Dr^a Érica de Melo Azevedo – Instituto Federal do Rio de Janeiro

Prof. Dr. Fabrício Menezes Ramos – Instituto Federal do Pará
Profª Dra. Jéssica Verger Nardeli – Universidade Estadual Paulista Júlio de Mesquita Filho
Prof. Dr. Juliano Carlo Rufino de Freitas – Universidade Federal de Campina Grande
Profª Drª Luciana do Nascimento Mendes – Instituto Federal de Educação, Ciência e Tecnologia do Rio Grande do Norte
Prof. Dr. Marcelo Marques – Universidade Estadual de Maringá
Prof. Dr. Marco Aurélio Kistemann Junior – Universidade Federal de Juiz de Fora
Profª Drª Neiva Maria de Almeida – Universidade Federal da Paraíba
Profª Drª Natiéli Piovesan – Instituto Federal do Rio Grande do Norte
Profª Drª Priscila Tessmer Scaglioni – Universidade Federal de Pelotas
Prof. Dr. Sidney Gonçalo de Lima – Universidade Federal do Piauí
Prof. Dr. Takeshy Tachizawa – Faculdade de Campo Limpo Paulista

Linguística, Letras e Artes

Profª Drª Adriana Demite Stephani – Universidade Federal do Tocantins
Profª Drª Angeli Rose do Nascimento – Universidade Federal do Estado do Rio de Janeiro
Profª Drª Carolina Fernandes da Silva Mandaji – Universidade Tecnológica Federal do Paraná
Profª Drª Denise Rocha – Universidade Federal do Ceará
Profª Drª Edna Alencar da Silva Rivera – Instituto Federal de São Paulo
Profª Drª Fernanda Tonelli – Instituto Federal de São Paulo,
Prof. Dr. Fabiano Tadeu Grazioli – Universidade Regional Integrada do Alto Uruguai e das Missões
Prof. Dr. Gilmei Fleck – Universidade Estadual do Oeste do Paraná
Profª Drª Keyla Christina Almeida Portela – Instituto Federal de Educação, Ciência e Tecnologia do Paraná
Profª Drª Miranilde Oliveira Neves – Instituto de Educação, Ciência e Tecnologia do Pará
Profª Drª Sandra Regina Gardacho Pietrobon – Universidade Estadual do Centro-Oeste
Profª Drª Sheila Marta Carregosa Rocha – Universidade do Estado da Bahia

Coleção desafios das engenharias: engenharia de computação

Diagramação: Camila Alves de Cremo
Correção: Maiara Ferreira
Indexação: Gabriel Motomu Teshima
Revisão: Os autores
Organizador: Ernane Rosa Martins

Dados Internacionais de Catalogação na Publicação (CIP)

C691 Coleção desafios das engenharias: engenharia de computação / Organizador Ernane Rosa Martins. – Ponta Grossa - PR: Atena, 2021.

Formato: PDF

Requisitos de sistema: Adobe Acrobat Reader

Modo de acesso: World Wide Web

Inclui bibliografia

ISBN 978-65-5983-387-0

DOI: <https://doi.org/10.22533/at.ed.870211808>

1. Engenharia da computação. I. Martins, Ernane Rosa (Organizador). II. Título.

CDD 621.39

Elaborado por Bibliotecária Janaina Ramos – CRB-8/9166

Atena Editora

Ponta Grossa – Paraná – Brasil

Telefone: +55 (42) 3323-5493

www.atenaeditora.com.br

contato@atenaeditora.com.br

DECLARAÇÃO DOS AUTORES

Os autores desta obra: 1. Atestam não possuir qualquer interesse comercial que constitua um conflito de interesses em relação ao artigo científico publicado; 2. Declaram que participaram ativamente da construção dos respectivos manuscritos, preferencialmente na: a) Concepção do estudo, e/ou aquisição de dados, e/ou análise e interpretação de dados; b) Elaboração do artigo ou revisão com vistas a tornar o material intelectualmente relevante; c) Aprovação final do manuscrito para submissão.; 3. Certificam que os artigos científicos publicados estão completamente isentos de dados e/ou resultados fraudulentos; 4. Confirmam a citação e a referência correta de todos os dados e de interpretações de dados de outras pesquisas; 5. Reconhecem terem informado todas as fontes de financiamento recebidas para a consecução da pesquisa; 6. Autorizam a edição da obra, que incluem os registros de ficha catalográfica, ISBN, DOI e demais indexadores, projeto visual e criação de capa, diagramação de miolo, assim como lançamento e divulgação da mesma conforme critérios da Atena Editora.

DECLARAÇÃO DA EDITORA

A Atena Editora declara, para os devidos fins de direito, que: 1. A presente publicação constitui apenas transferência temporária dos direitos autorais, direito sobre a publicação, inclusive não constitui responsabilidade solidária na criação dos manuscritos publicados, nos termos previstos na Lei sobre direitos autorais (Lei 9610/98), no art. 184 do Código penal e no art. 927 do Código Civil; 2. Autoriza e incentiva os autores a assinarem contratos com repositórios institucionais, com fins exclusivos de divulgação da obra, desde que com o devido reconhecimento de autoria e edição e sem qualquer finalidade comercial; 3. Todos os e-book são *open access*, *desta forma* não os comercializa em seu site, sites parceiros, plataformas de e-commerce, ou qualquer outro meio virtual ou físico, portanto, está isenta de repasses de direitos autorais aos autores; 4. Todos os membros do conselho editorial são doutores e vinculados a instituições de ensino superior públicas, conforme recomendação da CAPES para obtenção do Qualis livro; 5. Não cede, comercializa ou autoriza a utilização dos nomes e e-mails dos autores, bem como nenhum outro dado dos mesmos, para qualquer finalidade que não o escopo da divulgação desta obra.

APRESENTAÇÃO

A Engenharia de Computação tem como definição ser o ramo da engenharia que se caracteriza pelo projeto, desenvolvimento e implementação de sistemas, equipamentos e dispositivos computacionais, segundo uma visão integrada de hardware e software, apoiando-se em uma sólida base matemática e conhecimentos de fenômenos físicos. O objetivo é a aplicação das tecnologias de computação na solução de problemas de Engenharia.

Deste modo, este livro, aborda diversos aspectos tecnológicos computacionais, tais como: o desenvolvimento de um jogo de RPG acessível em LIBRAS; uma reflexão quanto à necessidade de aplicação de supressores de surto como proteção de transformadores devido a eventos transitórios em manobras de disjuntores; um algoritmo para geração de contorno 2D envolvendo regiões irregulares; avaliação da influência das tensões residuais e imperfeições geométricas iniciais em colunas de aço submetidas à flexão em torno do eixo de menor inércia; os esforços em estruturas laminares, de características de geometria e carregamentos diversos através da implementação computacional de um elemento finito sólido hexaédrico de 8 nós programado com uma linguagem computacional de alto nível; uma análise computacional realizada através do programa SAP2000; a estabilidade e as vibrações de anéis e tubulações apoiados em uma fundação elástica de Pasternak; um controlador neural para dois eixos de um robô manipulador de três graus de liberdade (3 GDL); uma ferramenta de autoria para livros relacionados a área da educação; um aplicativo com propósito de aumentar a taxa de reciclagem e minimizar os danos ambientais devido ao descarte incorreto de resíduos na natureza; a conscientização de crianças e adolescentes sobre as ocorrências de bullying; uma aplicação web interativa, de fácil utilização e interface amigável, por meio do pacote Shiny, destinada aos tópicos de intervalo de confiança e dimensionamento de amostra para o parâmetro proporção; segmentar e detectar, por meio de redes neurais convolutivas, as pás dos raspadores de escória em panelas de ferro gusa do Reator Kambara de uma siderúrgica; integrar a Biblioteca Digital de Artigos (IFPublica) e a Plataforma de Digital de Inscrição e Administração de Projetos (PDIAP), por meio de adaptações nos dois projetos, para impedir erros humanos e automatizar o processo de cadastro de artigos do PDIAP na base de dados do IFPublica.

Assim, espero que a presente obra venha a se tornar um guia aos estudantes e profissionais da área de Engenharia de Computação, auxiliando-os em diversos assuntos relevantes da área, fornecendo a estes novos conhecimentos para poderem atender as necessidades informacionais, computacionais e de automação das organizações de uma forma geral. Por fim, agradeço aos autores por suas contribuições na construção desta importante obra e desejo muito sucesso a todos os nossos leitores.

SUMÁRIO

CAPÍTULO 1.....	1
A ELASTO-PLASTIC CONSTITUTIVE MODEL BASED ON CHABOCHE KINEMATIC HARDENING OF ALUMINUM ALLOY 7050-T7451	
Renzo Fernandes Bastos	
Daniel Masarin	
Ernesto Massaroppi Junior	
 https://doi.org/10.22533/at.ed.8702118081	
CAPÍTULO 2.....	11
ACANNO: UM JOGO DE RPG COM UMA PROPOSTA DE ACESSIBILIDADE USANDO LIBRAS	
Gabriel Barroso da Silva Lima	
Marcos Roberto dos Santos	
Almir de Oliveira Costa Junior	
Jucimar Maia da Silva Junior	
 https://doi.org/10.22533/at.ed.8702118082	
CAPÍTULO 3.....	23
A IMPORTÂNCIA ATUAL DE ESTUDOS DE TRANSITÓRIOS ELETROMAGNÉTICOS PARA DEFINIÇÃO DE SISTEMAS DE PROTEÇÃO DE TRANSFORMADORES CONTRA SOBRETENSÕES E AS APLICAÇÕES RECENTES COM A INSTALAÇÃO DE SUPRESSORES DE SURTO	
Nelson Clodoaldo de Jesus	
João Roberto Cogo	
Luiz Marlus Duarte	
Luis Fernando Ribeiro Ferreira	
Éverson Júnior de Mendonça	
Leandro Martins Fernandes	
 https://doi.org/10.22533/at.ed.8702118083	
CAPÍTULO 4.....	38
ALGORITMO PARA GERAÇÃO DE CONTORNO DE MALHAS RETANGULARES PARA CÁLCULO DE DIFERENÇAS FINITAS	
Pedro Zaffalon da Silva	
Neyva Maria Lopes Romeiro	
Rafael Furlanetto Casamaximo	
Iury Pereira de Souza	
Paulo Laerte Natti	
Eliandro Rodrigues Cirilo	
 https://doi.org/10.22533/at.ed.8702118084	
CAPÍTULO 5.....	53
ANÁLISE DA RESISTÊNCIA DE PILARES DE AÇO SOB A INFLUÊNCIA DE TENSÕES RESIDUAIS E IMPERFEIÇÕES GEOMÉTRICAS INICIAIS	
Jefferson Alves Ferreira	

Giovani Vitório Costa
Harley Francisco Viana
Renata Gomes Lanna da Silva

 <https://doi.org/10.22533/at.ed.8702118085>

CAPÍTULO 6.....70

ANÁLISE DE ESTRUTURAS LAMINARES UTILIZANDO UM ELEMENTO SÓLIDO DE BAIXA ORDEM ENRIQUECIDO COM MODOS INCOMPATÍVEIS

Erijohnson da Silva Ferreira
William Taylor Matias Silva
Sebastião Simão da Silva
Adenilda Timóteo Salviano
José Lucas Pessoa de Oliveira

 <https://doi.org/10.22533/at.ed.8702118086>

CAPÍTULO 7.....84

ANÁLISE ESTRUTURAL DO EDIFÍCIO SEDE DA PROCURADORIA GERAL DA REPÚBLICA: O ESTUDO DE CASO DO BLOCO “A”

Stefano Galimi
Márcio Augusto Roma Buzar
Marco Aurélio Bessa
Leonardo da Silveira Pirillo Inojosa

 <https://doi.org/10.22533/at.ed.8702118087>

CAPÍTULO 8.....103

ANÁLISE ESTRUTURAL DO EDIFÍCIO SEDE DA PROCURADORIA GERAL DA REPÚBLICA: O ESTUDO DE CASO DO BLOCO “B”

Stefano Galimi
Márcio Augusto Roma Buzar
Marco Aurélio Bessa
Marcos Henrique Ritter de Gregorio

 <https://doi.org/10.22533/at.ed.8702118088>

CAPÍTULO 9.....119

APPLICATION OF A MULTIOBJETIVE OPTIMIZATION PARETO APPROACH TO DESIGN THE SDRE CONTROLLER FOR A RIGID-FLEXIBLE SATELLITE

Luiz Carlos Gadelha de Souza

 <https://doi.org/10.22533/at.ed.8702118089>

CAPÍTULO 10.....131

APPLICATION OF DEEP LEARNING FOR ANALYSIS OF CRACKS IN PELLET FALLING TESTS

Marconi Junio Henriques Magnani
Jorge José Fernandes Filho
Thyago Rosa Souza
Marco Antonio de Souza Leite Cuadros

 <https://doi.org/10.22533/at.ed.87021180810>

CAPÍTULO 11.....143

FLAMBAGEM E VIBRAÇÃO DE ANÉIS E TUBULAÇÕES ESBELTAS EM UMA FUNDAÇÃO ELÁSTICA

Mariana Barros dos Santos Dias

Paulo Batista Gonçalves

 <https://doi.org/10.22533/at.ed.87021180811>

CAPÍTULO 12.....155

CALIDAD ÁGIL: PATRONES DE DISEÑO EN UN CONTEXTO DE DESARROLLO DIRIGIDO POR PRUEBAS

Anna Grimán Padua

Manuel Capel Tuñón

Eladio Garví

 <https://doi.org/10.22533/at.ed.87021180812>

CAPÍTULO 13.....168

CONTROLE NEURAL DE DOIS ELOS DE UM ROBÔ DE TRÊS GRAUS DE LIBERDADE

José Antonio Riul

Paulo Henrique de Miranda Montenegro

 <https://doi.org/10.22533/at.ed.87021180813>

CAPÍTULO 14.....181

SUBOPTIMAL CONTROL ON NONLINEAR SATELLITE SIMULATIONS USING SDRE AND H-INFINITY

Alessandro Gerlinger Romero

Luiz Carlos Gadelha de Souza

 <https://doi.org/10.22533/at.ed.87021180814>

CAPÍTULO 15.....193

CREATE REALITY IN BOOKS (CRINB) - PROPOSTA DE FERRAMENTA DE AUTORIA DE LIVROS COM REALIZADADE AUMENTADA

Lucas Velho Gomes

Felipe Zunino

Gabriel Abreu Freire

Sidney Ferreira Coutinho

Rogério Grijo Biazotto

Eduardo Henrique Gomes

Nelson Nascimento Júnior

 <https://doi.org/10.22533/at.ed.87021180815>

CAPÍTULO 16.....198

DESENVOLVIMENTO DE ATIVIDADES DE ORIENTAÇÃO E CAPACITAÇÃO EM SISTEMAS DE COMPUTAÇÃO - RECYCLING IS BETTER

Líbero Passador Neto

Dimitre Moreira Ort

 <https://doi.org/10.22533/at.ed.87021180816>

CAPÍTULO 17.....	206
DESENVOLVIMENTO DE UM JOGO DIGITAL (2D) PARA CONSCIENTIZAÇÃO DE CRIANÇAS CONTRA O BULLYING	
Rafael Guedes da Silva	
Anderson Fabian Melo Nakanome	
 https://doi.org/10.22533/at.ed.87021180817	
CAPÍTULO 18.....	215
DESENVOLVIMENTO DE UMA APLICAÇÃO WEB PARA PROPORÇÃO E DIMENSIONAMENTO DE AMOSTRA POR MEIO DO PACOTE SHINY	
Pablo Fellipe de Souza Almeida	
Cristina Henriques Nogueira	
 https://doi.org/10.22533/at.ed.87021180818	
CAPÍTULO 19.....	226
DESIGN PATTERNS FOR SOFTWARE EVOLUTION REQUIREMENTS	
Anna Grimán Padua	
Manuel Capel Tuñón	
Eladio Garví	
 https://doi.org/10.22533/at.ed.87021180819	
CAPÍTULO 20.....	240
DETECTION AND SEGMENTATION OF PIG IRON SLAG SCRAPERS USING MASK RCNN FOR WEAR CONTROL	
Carlos Eduardo Oliveira Milanez	
Marco Antonio de Souza Leite Cuadros	
Gustavo Maia de Almeida	
 https://doi.org/10.22533/at.ed.87021180820	
CAPÍTULO 21.....	252
DIMENSIONAMENTO DE BLOCOS SOBRE ESTACAS METÁLICAS	
Fernanda Calado Mendonça	
Bernardo Horowitz	
 https://doi.org/10.22533/at.ed.87021180821	
CAPÍTULO 22.....	268
ESTIMATION OF STELLAR PARAMETERS FOR J-PLUS SURVEY WITH MACHINE LEARNING	
Carlos Andres Galarza Arevalo	
Simone Daflon	
Vinicius Moris Placco	
Carlos Allende-Prieto	
 https://doi.org/10.22533/at.ed.87021180822	
CAPÍTULO 23.....	279
ESTUDO ANALÍTICO E NUMÉRICO VIA MÉTODO DOS ELEMENTOS FINITOS DA	

RIGIDEZ DOS PILARES DE PONTES EM CONCRETO ARMADO

Sávio Torres Melo
Rebeka Manuela Lobo Sousa
Pablo Juan Lopes e Silva Santos
Francisca Itaynara de Souza Araújo
Thiago Rodrigues Piauilino Ribeiro
Amanda Evelyn Barbosa de Aquino
Diogo Raniere Ramos e Silva
Tiago Monteiro de Carvalho
Carlos Henrique Leal Viana
João Paulo dos Santos Silva
Madson Nogueira da Silva
Ilanna Castelo Branco Mesquita

 <https://doi.org/10.22533/at.ed.87021180823>

CAPÍTULO 24..... 290

ESTUDO ANALÍTICO E NUMÉRICO VIA MÉTODO DOS ELEMENTOS FINITOS DOS EFEITOS DE SEGUNDA ORDEM EM PILARES DE PONTES EM CONCRETO ARMADO

Sávio Torres Melo
Rebeka Manuela Lobo Sousa
Pablo Juan Lopes e Silva Santos
Francisca Itaynara de Souza Araújo
Thiago Rodrigues Piauilino Ribeiro
Amanda Evelyn Barbosa de Aquino
Diogo Raniere Ramos e Silva
Tiago Monteiro de Carvalho
Carlos Henrique Leal Viana
João Paulo dos Santos Silva
Madson Nogueira da Silva
Ilanna Castelo Branco Mesquita

 <https://doi.org/10.22533/at.ed.87021180824>

CAPÍTULO 25..... 311

ESTUDO DO MOVIMENTO DOS CORPOS MOEDORES NO PROCESSO DE MOAGEM UTILIZANDO O MÉTODO DOS ELEMENTOS DISCRETOS

Wladimir José Gomes Florêncio
Neilor Cesar dos Santos

 <https://doi.org/10.22533/at.ed.87021180825>

CAPÍTULO 26..... 329

FLUID FLOW SUMMARIZATION USING DYNAMIC MULTI-VECTOR FEATURE SPACES

Renato José Policani Borsetti
Leandro Tavares da Silva
Gilson Antonio Giraldi

 <https://doi.org/10.22533/at.ed.87021180826>

CAPÍTULO 27.....351

GESTÃO DE PROCESSOS: ALINHAMENTO ESTRATÉGICO ENTRE TI E NEGÓCIO
COM BPMN

Aryel Evelin Vieira Garcia

Rodrigo Elias Francisco

 <https://doi.org/10.22533/at.ed.87021180827>

CAPÍTULO 28.....359

IFINTEGRA - INTEGRADOR DA PLATAFORMA DE REGISTRO DE PROJETOS COM A
BIBLIOTECA DIGITAL DE ARTIGOS DE UM CAMPUS DO IFSUL

Mateus Roberto Algayer

Geovane Griesang

 <https://doi.org/10.22533/at.ed.87021180828>

SOBRE O ORGANIZADOR.....366**ÍNDICE REMISSIVO.....367**

CAPÍTULO 9

APPLICATION OF A MULTIOBJECTIVE OPTIMIZATION PARETO APPROACH TO DESIGN THE SDRE CONTROLLER FOR A RIGID-FLEXIBLE SATELLITE

Data de aceite: 02/08/2021

Luiz Carlos Gadelha de Souza

Federal University of ABC- Sao Bernardo do Campo – SP – Brasil
<http://lattes.cnpq.br/5801699053436537>

ABSTRACT: Complex space missions involving large angle maneuvers and rapid attitude control, require new non-linear control techniques to design the Satellite Control System (SCS) in order to have reliability and adequate performance. In that context, one investigates a new SCS technique based on the State Dependent Riccati Equation (SDRE) methodology which can be considered as an adaptive form of the Linear Quadratic Regulator (LQR) but which allows to deal with the non linearities of the system. A nonlinear mathematical model of a flexible rotatory beam is built through the Lagrangian formulation where the flexible displacement is modelled using the assumed modes theory and a structural damping is added applying the Rayleigh technique. The SDRE controller objectives are to control the hub angular position and simultaneously to damp the flexible displacements. A computational procedure is developed which allows drawing a performance map of the system showing all SDRE reachable performances. Using this control algorithm one can obtain the Pareto's border representing the set of optimal performances. On the other hand, analyzing the influence of the weight matrixes terms, it is shown that it is possible to get the Pareto's border performances

using only a few terms of the SDRE weight matrixes. On the basis of this analysis, a control law enabling to get weight matrixes' values as a function of a required performance is developed. Last of all, state dependent weight matrixes are used to show that they can improve the system performance. Based on the results, it turned out that the SDRE's performance is better than the LQR's one, not only because it can deal with non linearities, but also because its design is more flexible and permits to control the rigid-flexible satellite in the same time interval and spending less energy.

KEYWORDS: Nonlinear control law, rigid-flexible satellite, sdre method.

APLICAÇÃO DE UMA ABORDAGEM DE PARETO DE OTIMIZAÇÃO MULTIOBJETIVA PARA PROJETAR O CONTROLADOR SDRE PARA UM SATÉLITE RÍGIDO-FLEXÍVEL

RESUMO: Missões espaciais complexas envolvendo manobras de grande ângulo e rápido controle de atitude requerem novas técnicas de controle não linear para projetar o Sistema de Controle de Satélite (SCS) a fim de ter confiabilidade e desempenho adequado. Nesse contexto, investiga-se uma nova técnica SCS baseada na metodologia State Dependent Riccati Equation (SDRE) que pode ser considerada uma forma adaptativa do Regulador Linear Quadrático (LQR), mas que permite lidar com as não linearidades do sistema. Um modelo matemático não linear de uma viga rotatória flexível é construído através da formulação Lagrangiana onde o deslocamento flexível é

modelado usando a teoria dos modos assumidos e um amortecimento estrutural é adicionado aplicando a técnica de Rayleigh. Os objetivos do controlador SDRE são controlar a posição angular do cubo e, simultaneamente, amortecer os deslocamentos flexíveis. É desenvolvido um procedimento computacional que permite desenhar um mapa de desempenho do sistema mostrando todos os desempenhos alcançáveis do SDRE. Usando este algoritmo de controle, pode-se obter a fronteira de Pareto que representa o conjunto de desempenhos ideais. Por outro lado, analisando a influência dos termos das matrizes de peso, mostra-se que é possível obter os desempenhos de fronteira de Pareto usando apenas alguns termos das matrizes de peso SDRE. Com base nesta análise, é desenvolvida uma lei de controle que permite obter os valores das matrizes de peso em função de um desempenho necessário. Por último, as matrizes de peso dependentes do estado são usadas para mostrar que podem melhorar o desempenho do sistema. Com base nos resultados, constatou-se que o desempenho do SDRE é melhor que o do LQR, não só porque pode lidar com não linearidades, mas também porque seu design é mais flexível e permite controlar o satélite rígido-flexível no mesmo intervalo de tempo e gastando menos energia.

PALAVRAS-CHAVE: Lei de controle não linear, satélite rígido-flexível, método sdre.

INTRODUCTION

The main interest of the SDRE method (Cloutier et al., 1996) is that it is a systematic approach that can deal with non-linear plant. A good state of the art about SDRE theory can be found in (Cimen, 2008). The idea of SDRE is to linearize the plant around the instantaneous point of operation, producing a constant state-space model and then calculate the controller as in LQR control technique (Souza, 2006). The process is repeated at each sampling periods producing and controlling several state dependent linear models out of a non-linear one. In other words, a SDRE controller is an adaptive LQR. Feasibility in real time could be a problem as the computation time for calculating the controller (solving the Algebraic Riccati Equation ARE) has to be inferior to the sampling time of the system. Therefore, several simulations have proven the computationally feasibility for real time implementation as in control of missiles (Menon, et al., 2002) and helicopter (Bogdanov and Wan, 2007). A different approach, also based on an optimization of weight matrix was applied by (Sales et al., 1993) and (Pinheiro and Souza, 2013) to design a control system of flexible satellites. As feasibility has no more to be proven, therefore, this study will focus on simulation and will show benefit of this new nonlinear sdre approach based on the weighting selection as a function of the state.

SDRE METHODOLOGY

The SDRE control approach is based on the LQR theory which controller u minimize a quadratic function cost given by

$$J_{LQR} = \frac{1}{2} \int_{t_0}^{\infty} (x^T Q x + u^T R x) dt \quad (1)$$

where $x \in \mathbb{R}^n$ is the state vector, $u \in \mathbb{R}^m$ is the control signal, and, $Q \in \mathbb{R}^{nxn}$ and $R \in \mathbb{R}^{mxm}$ are the weight matrices semi defined positive and defined positive respectively.

The idea of this function is making a trade off between performances using the Q weight to regulate the "size" of the states x and energy saving using the R weight to regulate the control signal u . Therefore, the SDRE approach is an extension of the LQR controller with the difference that weights Q and R can be state dependent:

$$J_{SDRE} = \frac{1}{2} \int_{t_0}^{\infty} (x^T Q(x) x + u^T R(x) x) dt \quad (2)$$

To solve this optimization problem, it is needed to define the specific problem in order to get constraints of the cost function. There are two kinds of constraints: the model and initial conditions. It can be written as:

$$\dot{x} = f(x) + g(x)u, \quad x(t_0) = x_0 \quad (3)$$

Applying a direct parameterization to transform the non-linear system of Eq. 3 into State Dependent Coefficients (SDC) representation (Souza and Gonzales, 2012), the dynamic equation of the system with control can be written in the form

$$\dot{x} = A(x)x + B(x)u \quad (4)$$

The control law is given by

$$u(x) = -R^{-1}(x)B^T(x)P(x)x \quad (5)$$

where $P(x)$ is the solution of the State Dependent Algebraic Riccati Equation (SDARE).

EQUATIONS OF MOTIONS OF RIGID-FLEXIBLE SATELLITE

Figure 1 shows a representation of rigid-flexible satellite by a flexible rotatory beam; which consists of a beam fixed to the rotor motor at one end and free at the other one. Euler-Bernoulli beam is used; this means that deformations are considered small. Parameters of the beam are the following: length L , linear density ρ , rigidity EI_z and the rotor motor parameters are: angular position $\theta(t)$, which is a rotation along the X -axis so gravity has no influence, rotor and beam inertia I_{eq} , a characteristic constant of the motor C_m , the voltage U_m and radius of the hub r . The beam displacement is $y(x, t)$. To simplify notation, y is used without referring to its variables and its partial derivatives relative to the time t and the position x are respectively written \dot{y} and y' .

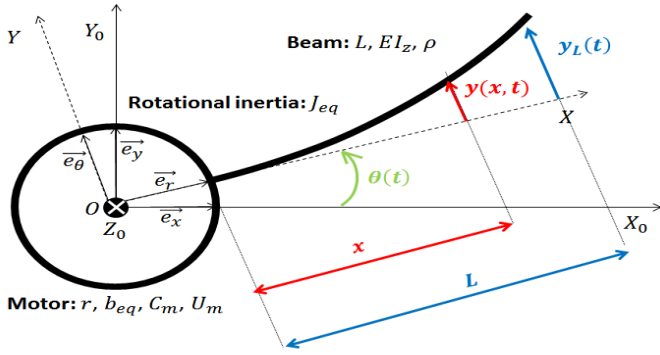


Fig. 1 Representation of the rigid-flexible satellite model.

The assumed mode method supposes that the flexible displacement is a linear combination of products of a space function $\phi: x \rightarrow \phi(x)$ (also called form) with a time function $q: t \rightarrow q(t)$ that we will call mode.

$$y(x, t) = \sum_{i=1}^n \phi_i(x) q_i(t) = \Phi^T q = q^T \Phi \quad (6)$$

Lagrange theory permits deriving non-linear motion equations. Full calculation can be found in (Bigot and Souza, 2014).

$$M(q) \begin{bmatrix} \dot{\theta} \\ \ddot{q} \end{bmatrix} + N(q, \dot{q}, \theta) \begin{bmatrix} \dot{\theta} \\ \ddot{q} \end{bmatrix} + K \begin{bmatrix} \theta \\ q \end{bmatrix} = F U_m \quad (7)$$

It is a classical vibrating systems equation where M the mass matrix, N the damping matrix, K the rigidity matrix and F the external force vector.

$$K = \begin{bmatrix} 0 & 0 \\ 0 & K_{ff} \end{bmatrix} \quad F = \begin{bmatrix} C_m \\ 0 \end{bmatrix} \quad (8)$$

$$M = \begin{bmatrix} J_{eq} + q^T M_{ff} q & M_{rf}^T \\ M_{rf} & M_{ff} \end{bmatrix} Q_q \quad N = \begin{bmatrix} b_{eq} + q^T M_{ff} \dot{q} & q^T M_{ff} \theta \\ -M_{ff} q \dot{\theta} & a M_{ff} + b K_{ff} \end{bmatrix} \quad (9)$$

a and b are Rayleigh damping coefficients. It is a technic to model structural damping without having to know all materials properties (Wilson, 1998). Other matrix elements are defined in function of the form function as

$$M_{ff} = \int_0^L \Phi(x) \Phi^T(x) dx, M_{rf} = \rho \int_0^L (r + x) \Phi(x) dx, K_{ff} = EI_z \int_0^L \Phi''(x) \Phi''^T(x) dx \quad (10)$$

One observes that Eq. 7 represent is nonlinear equation of motion of the rigid-flexible satellite and where the mass M and damping matrix N are not constants and depends on q , \dot{q} and $\dot{\theta}$.

To be able to apply the SDRE technique, this system has to be represented in the

SDC form, with the system states x are the rigid mode θ and flexible modes q and their derivatives and control u are defined by

$$\dot{x} = [\theta \quad q \quad \dot{\theta} \quad \dot{q}]^T \quad u = U_m \quad (11)$$

Reorganizing Eq. 7, the equations of motions can be put in the classic state space representation given by

$$\dot{x} = \underbrace{\begin{bmatrix} 0 & I \\ -M^{-1}K & -M^{-1}N \end{bmatrix}}_{A(x)} x + \underbrace{\begin{bmatrix} 0 \\ M^{-1}F \end{bmatrix}}_B u \quad (12)$$

One observes that a and b are Rayleigh damping coefficients without considering its division into static and dynamics and that M and N are clearly states dependent as well as the matrices A and B are state dependent too.

SDRE SIMULATION STRATEGY

As matrix A and B depends on the states their values must be determined on every step. So, for every iteration of the simulation, states vector x is measured, the solution P is obtained of SDARE , the feedback control u is determined by Eq. 5 and then, the new matrix A is obtained. This process is described in the Fig. 2.

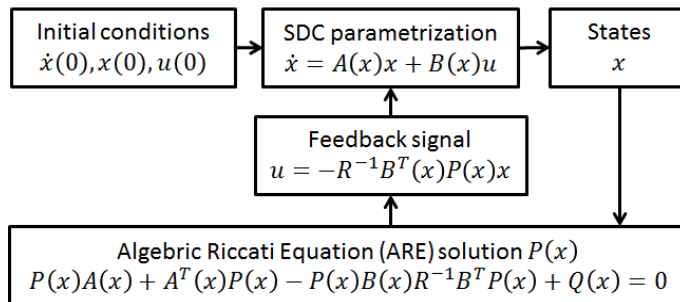


Fig. 2 SDRE Algorithm.

Implementation of this algorithm has been done using the MATLAB-Simulink. The solution of the Algebraic Riccati Equation (ARE) has been found via a S-function [9]. The maximum voltage supply for the motor is $\pm 15V$. Referring to performance objectives, those are temporal requirements since the model is non-linear and frequency analysis is not possible. The beam angular position θ has to stabilize in the region $\pm 5\%$ of the command θ_c in a minimum setting time: $T_{r5\%}$. The flexible deflection at beams extremity y_L has to be as smaller as possible and can't be higher than $\pm 1.5[\text{cm}]$.

Table 1 shows the values used for the simulation. It has been used 2 flexible modes. All results of simulation are obtained with the weight $R = 1$. The command signal used for

all this study is $\theta_c = 90^\circ$.

Beam	Values	Motor	Values
L	41.9 cm	b_{eq}	$0.146 \text{ kg m}^2 \text{ s}^{-1}$
EI_z	0.0913 N m	J_{eq}	0.00753 kg m^2
P	0	C_m	0.1282 N V^{-1}

Table 1: model parameters values.

From the cost function represented by Eq. 2 it can be noted that weight Q is linked with the states x . Q weight is responsible for performance of the system. Q is a $(n+1) \times (n+1)$ matrix where n is the number of flexible modes. In order to influence each state independently Q has to be chosen a diagonal matrix, like : $\text{diag}\{Q_\theta, Q_q, Q_\theta, Q_q\}$. Increase Q results in faster regulation of the associated state. This insight comes from the analysis of the function cost Eq.(2). Let x be a state of this system and Q_x its associated weight. Increasing the state x coefficient Q_x results in an increasing value of $x^T Q_x x$. To minimize this quantity, x has to reach the equilibrium value faster than other states. Weight terms can be seen as states penalties.

INFLUENCE OF THE EACH TERMS OF MATRIX Q

Figure 3 shows the influence of each terms of Q independently. One observes that increasing Q_θ leads to a faster system because θ state has to reach the equilibrium faster. Q_q and Q_θ penalize flexible modes so one can see that the displacement is smaller when the weights increase. Finally Q_θ penalize the angular speed, that's why the system takes a longer time to set up.

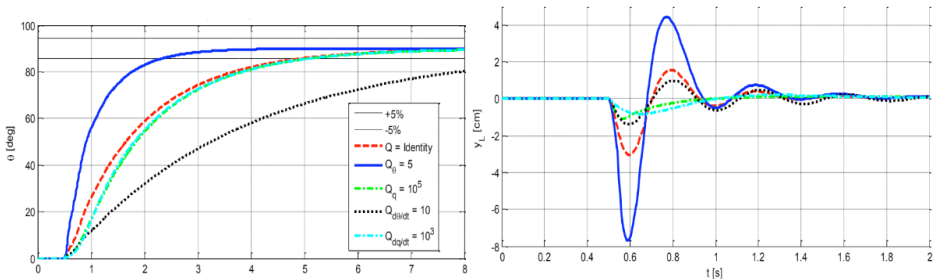


Fig. 3 Analyse of Q terms influence.

To investigate the influence of flexible states one keeps the values of $Q_\theta = 10$ and

$Q_\theta = 1$ constants. Results have been represented in Figure 4. The best trade off found is the black response with $Q_q = 10^5$ and $Q_{\dot{q}} = 10^4$. The settling time is the same as the cyan response and the deflection is smaller. When looking at the green response and comparing to the black one, ones can see that the settling time is worse and the deflection gain in dropping the deflection is not so better. Note that values of Q_q and $Q_{\dot{q}}$ are high because values of q and \dot{q} are small, remembering that what is to be minimized is $q^T Q_q q$ and $\dot{q}^T Q_{\dot{q}} \dot{q}$.

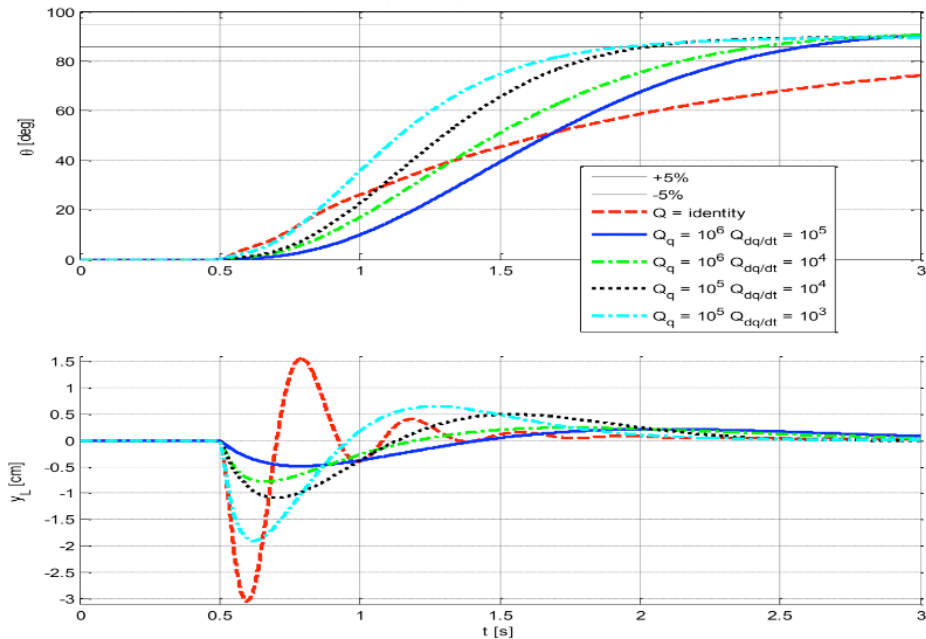


Fig. 4. Varying Q_q and $Q_{\dot{q}}$ for $Q_\theta = 10$ and $Q_\theta = 1$.

The next step is to find good Q_θ and $Q_{\dot{q}}$. Other terms have been picked as the “best” value s of the previous analysis: $Q_q = 10^5$ and $Q_{\dot{q}} = 10^4$. As it is not an issue the way of getting the desired angular position (smoothly or not), $Q_{\dot{q}}$ can be relax. One relieves the constraint over $\dot{\theta}$, it means that there is no matter of $\dot{\theta}$ be high. Figure 5 shows that relaxing this constraint permits a better performance: green response is faster than blue response and displacement is almost the same. It has been verified that decrease $Q_{\dot{q}}$ more than 0.1 has no effective effect on the system.

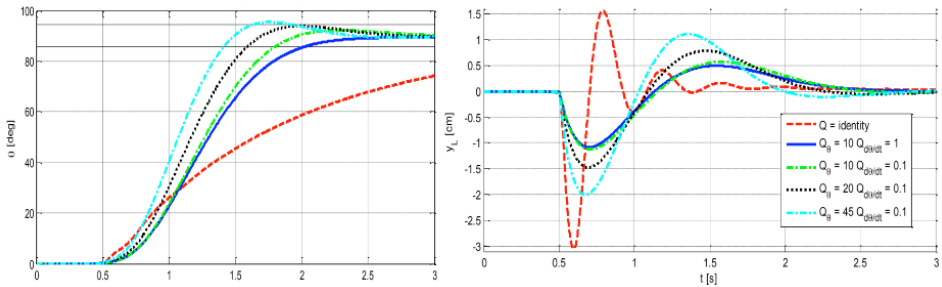


Fig. 5. Varying Q_θ and $Q_{\theta\bar{}}^{\text{}}$ for $Q_q = 10^5$ and $Q_{\dot{q}} = 10^4$.

On Figure 5 it is evident than increasing Q_θ improve the settling time but increase flexible deflections. Then designer has to choose in function of its most important requirement.

SDRE CONTROL LAW BASED ON MATRIX Q_θ

One observes that to get a fast response, a high Q_θ is desired. The idea is to produce a variable Q_θ in function of the motion: small at the beginning of the motion and high at the end of the motion. The simpler function is a linear function of θ :

$$Q_\theta(\theta) = Q_{\theta_0} + \frac{K_{Q_\theta} |\theta - \theta_0|}{|\theta_c - \theta_0| + \epsilon} \quad (13)$$

Both Q_{θ_0} and K_{Q_θ} are scalar parameters of the linear function to adjust the law to get the desired performance. ϵ is a small number (typically 10^{-4}) to avoid singularity when $\theta_c = \theta_0$. When $t = 0$, $\theta(0) = \theta_0$ then, $Q_\theta(t_0) = Q_{\theta_0}$. At the contrary, when $t = t_\infty$, $\theta(\infty) = \theta_c$ then, $Q_\theta(\infty) \approx Q_{\theta_0} + K_{Q_\theta}$. So, it can be conclude that this function is increasing with the time, starting from Q_{θ_0} and getting to $Q_{\theta_0} + K_{Q_\theta}$. Note that this function is not a linear function of the time because $\theta(t)$ is not a linear function of time. To prove benefits of having such adaptive weight, the response for different weights $Q(\theta)$ has been calculated. The response is analyzed according two parameters: the setting time $T_{r5\%}$ and the maximum displacement at the beam extremity $y_{L_{max}}$.

PERFORMANCE MAP

The performance map shows the system's performance goals, where each point is obtained by simulating the system with a different SDRE controller configuration, different values of the weights of the Q and R matrices. Figure 6 represents the performance map for the objectives $T_{r5\%}$ and $y_{L_{max}}$ associated with various values of the matrices weights $R = R_u$ and $Q = \text{diag}(Q_\theta, Q_q I_2, Q_q I_2) \bar{Q}$.

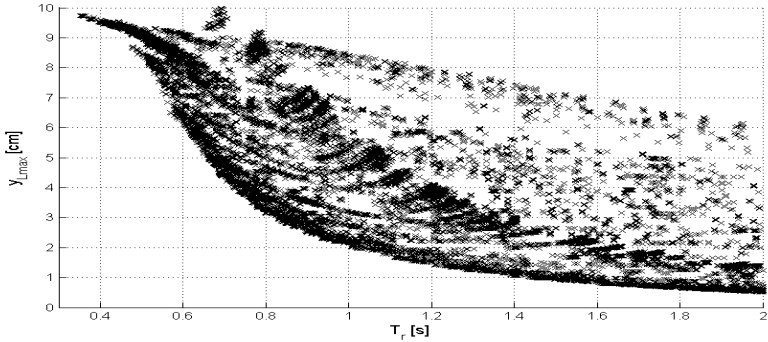


Fig. 6 - Performance map of the SDRE controlled for several different weights Q and R.

From Fig. 6, it can be seen the system performances map of SDRE controller. The division of these points is not uniform; some sets of points appear in the left Pareto border which represents the best attainable performances. In this area the density of points is very high; this means that there are many different combinations of weights that allow optimum performance. In between of the Pareto area also has a high dot density. These points represent the overshoot performances in the response θ . Typically, when attempting to increase the speed of the system, a time arrives where the value of θ to be reached (θ_c) is exceeded, this causes the stabilization time of the system $T_{r5\%}$ to increase abruptly, creating a zone of relatively low point density between the left and right sets of points.

COMPARISON OF THE LQR AND SDRE CONTROLLERS PERFORMANCE

Figure 7 shows the Pareto boundaries of SDRE and LQR in red and green respectively. It is noticed that the SDRE controller achieves better performances than the LQR controller because the red curve is below the green curve. The gain in performance is not very large, probably because the modeled system does not have very large nonlinearities. It is believed that this gain would be greater for a system with higher nonlinearities.

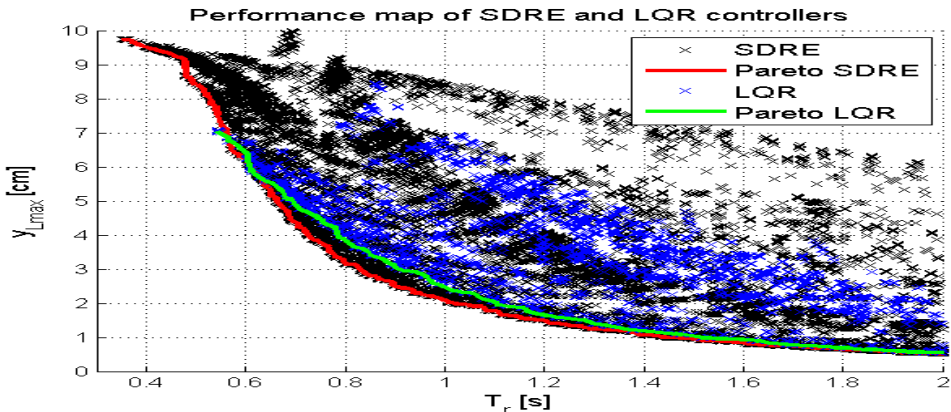


Fig. 7 - Comparison of performance map and Pareto frontier of SDRE and LQR controllers.

Figure 8 shows the time domain responses of the three points identified in Figure 7. In addition to improving the stabilization time of the system having a maximum flexible displacement equal $L_{\max} = 3\text{cm}$, the SDRE consumes less energy to perform the maneuver.

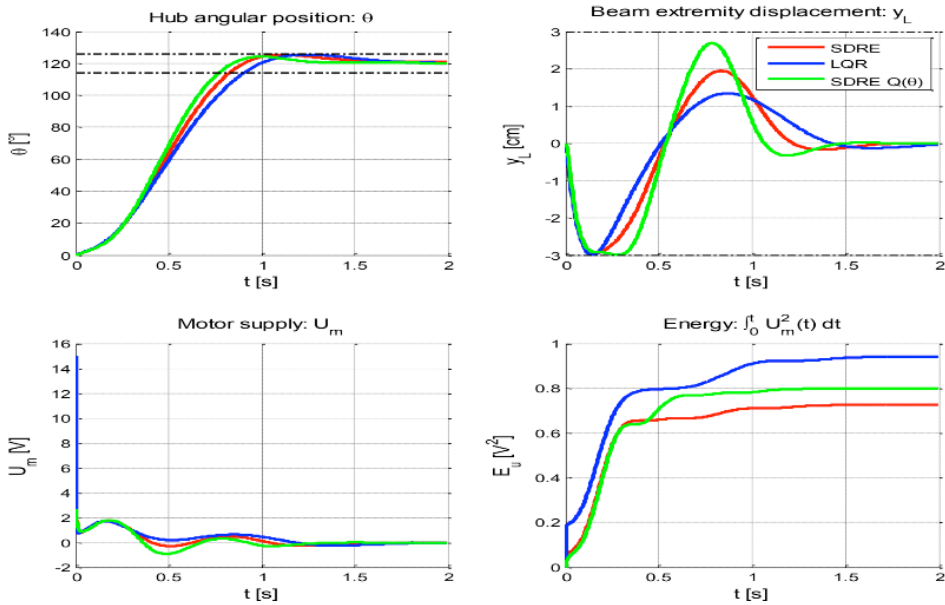


Fig. 8 Time domain responses of the three points identified in Figure 7.

In addition, it is noted that when using SDRE with a state-dependent weight matrix, the second peak of the flexible displacement is larger and reaches almost the same level as the first (3cm). This phenomenon can be considered as positive because it allows the deformation of the beam during the maneuvers to be symmetrical on both sides and thus

decreases the possibility of the beam presenting a residual deformation (due to material hysteresis) in one direction when the maneuver is performed.

SUMMARY

In this paper the SDRE controller was studied applying it to a non-linear model of a rigid-flexible rotating robotic arm formed by a flexible rod coupled to a servomotor. The elaborated model considers an Euler-Bernoulli type beam, uses the assumed modes method with two modes of vibration, considers first order nonlinearities and has a Rayleigh type structural damping. This model can be adapted to allow the simulation of satellites with flexible appendices such as antennas or solar panels. The mathematical model was validated by comparing the open-loop results with the real system results. The dynamics equations were parameterized to arrive at the SDC form for the implementation of the SDRE controller. The adjustment of the SDRE controller by means of the Q and R matrices was studied in detail: a normalization technique was applied in order to be able to perform simulations to measure the influence of each term of the matrices weight on the performance of the system. Afterwards, we tried to obtain the best possible performance in terms of system stabilization time and vibration minimization. For this, the performance map of the SDRE-controlled system was created to find the Pareto frontier; Set of optimal performance points. Based on the points of the Pareto frontier, a law was successfully created that allows to obtain the values of the matrices weight as a function of the value of a parameter of performance. The developed law has a limitation; It only works for a certain range of performance. Finally, a weight-dependent matrix of a state was used to show that, in this way, the performance of the SDRE can be improved. The study was concluded showing that the SDRE controller allows obtaining a better performance than the regulator LQR.

REFERENCES

- Bigot, P., & Souza, L. C. (2014). Investigation of the State Dependent Riccati Equation (SDRE) adaptive control advantages for controlling non-linear systems as a flexible rotatory beam. *International journal of systems applications, engineering and development*. (Vol. 8, pp 92-99).
- Bogdanov, A.,& Wan, E.A.(2007). State-dependent Riccati equation control for small autonomous helicopters. *Journal of guidance, control, and dynamics*,30(1),47-60.
- Cimen, T. (2008, July). State-dependent Riccati equation (SDRE) control: a survey. In *Proc. of the 17th IFAC world congress* (pp. 3761-3775).
- Cloutier J. R., D'Souza C. N. & Mracek C. P. (1996). Nonlinear Regulation and Nonlinear H-infinity Control via the State-Dependent Riccati Equation Technique: Part 1. Theory. In *Proc. of the 1st International Conference on Nonlinear Problems in Aviation and Aerospace*.

Menon, P. K., Lam, T., Crawford, L. S., & Cheng, V. H. L. (2002). Real-time computational methods for SDRE nonlinear control of missiles. In *American Control Conference, 2002. Proceedings of the 2002* (Vol. 1, pp. 232-237). IEEE.

Pinheiro, E. R.; Souza, L. C. G.. Design of the Microsatellite Attitude Control System Using the Mixed Method via LMI Optimization. *Mathematical Problems in Engineering* (Print), v. 2013, p. 1-8, 2013.

Sales, T.P.; Rade, D. A.; Souza, L.C.G. . Passive vibration control of flexible spacecraft using shunted piezoelectric transducers. *Aerospace Science and Technology* (Imprimé), v. 1, p. 12-26, 2013.

Souza, L. C. G. (2006). Design of Satellite Control System Using Optimal Nonlinear Theory. *Mechanics based design of structures and machines*, 34(4), 351-364.

Souza, L. C. G., & Gonzales, R. G. (2012). Application of the state-dependent Riccati equation and Kalman filter techniques to the design of a satellite control system. *Shock and vibration*, 19(5), 939-946.

Wilson E. L. (1998). Three-Dimensional Static and Dynamic Analysis of Structures, Chapter 19. www.edwilson.org/BOOK-Wilson/19-DAMP.pdf

ÍNDICE REMISSIVO

A

- Algoritmo 38, 40, 42, 44, 46, 48, 50, 70, 82, 120, 168, 169, 182, 257, 262, 265, 322, 330
Análise avançada 53, 54, 55, 68
Análise computacional 84, 103
Análise estrutural 55, 71, 82, 84, 85, 92, 93, 94, 95, 97, 103, 109, 110, 111
Aprendizado 13, 174, 193, 194, 197, 208, 215, 224, 268

B

- Bullying 206, 207, 208, 210, 211, 212, 213, 214

C

- Carga crítica 143, 144, 147, 148, 149, 152, 153
Computational fluid dynamics 329, 330, 350
Constitutive model 1, 2, 5, 6, 10
Contorno 38, 39, 40, 41, 42, 43, 44, 45, 46, 47, 49, 50, 51, 71, 299
Controlador neural 168, 169, 170, 171, 172, 173, 174, 175, 179
Controle 19, 119, 120, 131, 168, 169, 171, 173, 174, 175, 176, 177, 178, 179, 180, 181, 182, 240, 295, 312, 352, 353, 356, 358

D

- Deep learning 131, 132, 134, 135, 136, 137, 138, 141, 142
Descarte adequado 198
Desenvolvimento 11, 12, 14, 15, 17, 20, 21, 35, 36, 40, 44, 82, 83, 193, 194, 195, 197, 198, 199, 200, 205, 206, 208, 209, 210, 211, 215, 216, 217, 221, 225, 226, 227, 254, 260, 265, 281, 294, 327, 352, 354, 357, 359, 361, 362, 363, 364
Design patterns 155, 156, 166, 167, 226, 227, 228, 230, 231, 234, 238
Diferenças finitas 38, 39, 40, 45, 50, 51, 52, 315
Digital 167, 197, 206, 207, 210, 213, 239, 243, 319, 320, 358, 359, 360, 362, 363, 365
Drop test 131, 132, 133, 134, 135, 141

E

- Educação 12, 13, 14, 21, 53, 68, 70, 191, 193, 195, 197, 208, 212, 215, 225, 279, 290, 311, 326, 359, 366
Educacional 14, 82, 206, 208, 209
Elemento hexaédrico 70, 72, 75, 77
Elementos finitos 53, 55, 69, 70, 71, 72, 83, 279, 280, 281, 285, 286, 290, 291, 294, 297,

- 299, 303, 306, 309, 321
Equações diferenciais 39, 40, 44, 51, 71, 294
Estabilidade estrutural 143
Estatística 21, 215, 216, 217, 218, 224, 225
Estrutura 17, 38, 54, 71, 72, 75, 77, 78, 81, 82, 84, 85, 87, 89, 90, 91, 97, 98, 99, 101, 102, 103, 104, 106, 112, 113, 114, 115, 116, 117, 118, 152, 218, 221, 253, 266, 279, 280, 281, 282, 283, 284, 286, 288, 291, 292, 293, 297, 298, 302, 309, 362, 363

F

- Ferramenta 15, 18, 22, 39, 193, 194, 195, 196, 200, 204, 210, 211, 216, 224, 294, 313, 354, 356, 360, 361, 363
Frequências naturais 143, 144, 146, 147, 149, 150, 151, 152, 153

Fundação elástica 143

G

- Geometria irregular 38
Gestão de processos 351, 352, 354, 355, 358

I

- Imperfeições geométricas iniciais 53, 54, 55, 62, 64, 67, 69
Inclusão 29, 33, 35, 36, 67, 68, 197, 359, 360
Industrial process 131
Informação 12, 21, 193, 205, 216, 351, 354, 355, 356, 357, 358, 360, 366
Inovação 86, 104, 105, 193, 366
Interfaces 215, 216, 225, 231, 232, 233, 234, 235, 361

J

- Jogo 11, 12, 13, 14, 15, 16, 17, 18, 19, 20, 206, 207, 209, 210, 211, 212, 213

L

- Layout 221, 222, 359, 360, 362
Libras 11, 12, 13, 14, 17, 18, 19, 20, 21, 22

M

- Malha 38, 39, 40, 44, 45, 46, 49, 50, 72, 79, 108, 182, 285, 299, 303, 304, 313, 321, 322, 326
Modelagem 31, 33, 35, 36, 38, 39, 70, 72, 149, 194, 251, 255, 268, 280, 285, 294, 295, 299, 305, 351, 352, 353, 354, 356, 357, 358
Modos incompatíveis 70, 72, 75, 76, 77, 79, 80, 82, 83

O

Oscar Niemeyer 84, 85, 86, 87, 89, 101, 102, 103, 104, 105, 118

P

Pasternak 143, 144, 145, 149, 151, 153, 154

Processos 82, 171, 240, 312, 351, 352, 353, 354, 355, 356, 357, 358, 359, 361

Programação 72, 211, 215, 224, 361

Programas 55, 205, 206, 210, 214, 294, 359

Projeto socioambiental 198

R

Realidade aumentada 193, 194, 195, 196, 197

Rede neural 168, 169, 171, 175

Resistência 53, 54, 55, 56, 60, 61, 62, 63, 64, 65, 66, 67, 68, 89, 96, 131, 145, 255, 256, 258, 261, 262, 263, 280, 294, 314

Robô 168, 169, 170, 173, 174, 175, 176, 177, 178, 179

Robótica 168

RPG 11, 12, 15, 16, 18

RStudio 215, 216, 217, 218, 220, 224, 225

S

Shiny 215, 216, 217, 218, 220, 221, 224, 225

Simulações 23, 24, 30, 31, 33, 35, 38, 44, 50, 168, 169, 175, 181, 311, 312, 326, 329

Sobretensões de manobras 23, 24, 25, 29, 30

Software 1, 6, 12, 18, 40, 53, 55, 66, 70, 71, 72, 77, 79, 80, 82, 103, 155, 156, 157, 158, 159, 166, 167, 196, 210, 215, 216, 217, 218, 220, 224, 225, 226, 227, 228, 229, 230, 231, 232, 233, 235, 237, 238, 239, 256, 257, 263, 265, 266, 267, 281, 285, 297, 299, 300, 311, 320, 321, 330, 356, 357, 359, 360, 363, 364

Stable hysteresis cycle 1, 3, 9

Summarization 329, 330, 331, 332, 343, 349, 350

Supressores de surto 23, 25, 28, 29, 30, 33, 34, 35, 36

Sustentabilidade 198, 199

T

Tecnologia 11, 12, 21, 54, 70, 168, 193, 194, 196, 197, 206, 208, 215, 279, 290, 311, 326, 351, 355, 358, 359, 362, 366

Tensão 1, 24, 25, 26, 27, 28, 33, 34, 59, 62, 63, 66, 67, 75, 170, 255, 256, 258, 260, 261,

266, 295

Tensões residuais 53, 54, 55, 61, 62, 63, 64, 65, 66, 67, 68, 69

Transformadores 23, 24, 25, 28, 30, 34, 35, 36

Transitórios eletromagnéticos 23, 24, 31

W

Web 54, 194, 195, 196, 200, 215, 216, 217, 218, 221, 222, 225, 355, 359, 360, 361, 362, 363, 365

COLEÇÃO

DESAFIOS

DAS

ENGENHARIAS:

ENGENHARIA DE COMPUTAÇÃO

- 
- 🌐 www.atenaeditora.com.br
 - ✉️ contato@atenaeditora.com.br
 - 📷 [@atenaeditora](https://www.instagram.com/atenaeditora)
 - FACEBOOK www.facebook.com/atenaeditora.com.br

COLEÇÃO

DESAFIOS

DAS

ENGENHARIAS:

ENGENHARIA DE COMPUTAÇÃO

- 
- 🌐 www.atenaeditora.com.br
 - ✉️ contato@atenaeditora.com.br
 - 📷 [@atenaeditora](https://www.instagram.com/atenaeditora)
 - FACEBOOK www.facebook.com/atenaeditora.com.br